

А.Ю. Федорченко<sup>1</sup>, Н.Е. Белоусова<sup>1✉</sup>, М.В. Селецкий<sup>1</sup>,  
А.И. Лебединцев<sup>2</sup>, И.Е. Воробей<sup>3</sup>, П.С. Гребенюк<sup>2</sup>,  
А.В. Пташинский<sup>4</sup>

<sup>1</sup>Институт археологии и этнографии СО РАН  
Новосибирск, Россия

<sup>2</sup>Северо-Восточный комплексный научно-исследовательский  
институт им. Н.А. Шило ДВО РАН  
Магадан, Россия

<sup>3</sup>Магаданский областной краеведческий музей  
Магадан, Россия

<sup>4</sup>Камчатский государственный университет им. Витуса Беринга  
Петропавловск-Камчатский, Россия  
E-mail: consacrer@yandex.ru

## Результаты исследований памятников эпохи неолита Камчатки в 2022–2023 годах

В работе отражены результаты археологических изысканий, проведенных в 2022–2023 гг. на четырех памятниках каменного века Камчатки: многослойной Авачинской стоянке, поселении Вилюча I, стоянках Уксичан и Эссо-Мегафон. Полевые исследования были направлены на оценку состояния сохранности культурных отложений и перспектив проведения дальнейших изысканий, также целью было получение новых сведений об облике каменных индустрий, их хронологии, этапах заселения стоянок в эпоху голоцен. Использование методов аэрофоторазведки в ходе работ позволило конкретизировать данные о масштабе современных антропогенных нарушений, визуализировать территории объектов и области распространения подъемного материала. В результате работ были получены новые данные о стратиграфии и хронологии памятника Авача, дополнены научные представления о наиболее ранних этапах его заселения. На основании повторного радиоуглеродного AMS-датирования образцов угля 1975–1977 гг. были скорректированы в сторону омоложения выводы о возрасте культурного слоя III, связываемого прежде с определением  $5\ 200 \pm 100$  некал. л.н. Новые данные –  $3\ 322 \pm 43$  некал. л.н. – привели в соответствие возраст комплекса и хронологию бытования других памятников тарыинской культуры Камчатки. Оценка облика археологических коллекций, полученных из зачистки и подъемных сборов памятников Вилюча и Уксичан позволила отнести их к эпохам позднего неолита – палеометалла. Была уточнена хронология и культурная атрибуция стоянки Эссо-Мегафон. Из культурного слоя памятника по углю была получена дата –  $7\ 574 \pm 91$  некал. л.н. На основании результатов датирования и технико-типологического анализа каменной индустрии последняя была отнесена к кругу комплексов ушковской мезолитической культуры Центральной Камчатки.

Ключевые слова: Камчатка, мезолит, неолит, палеометалл, тарыинская культура, каменная индустрия.

А.Y. Fedorchenko<sup>1</sup>, N.E. Belousova<sup>1✉</sup>, M.V. Seletsky<sup>1</sup>,  
A.I. Lebedintsev<sup>2</sup>, I.E. Vorobey<sup>3</sup>, P.S. Grebenyuk<sup>2</sup>,  
A.V. Ptashinsky<sup>4</sup>

<sup>1</sup>Institute of Archaeology and Ethnography, SB RAS  
Novosibirsk, Russia

<sup>2</sup>North-East Interdisciplinary Scientific Research Institute FEB RAS  
Magadan, Russia

<sup>3</sup>Magadan Regional Museum of Local Lore  
Magadan, Russia

<sup>4</sup>Kamchatka State University named after Vitus Bering  
Petropavlovsk-Kamchatsky, Russia  
E-mail: consacrer@yandex.ru

## Research of the Neolithic Sites in Kamchatka in 2022–2023

This article describes archaeological research at four Stone Age sites (Avacha multilayered site, Vilyucha I settlement, Uksychan and Esso-Megafon sites) in Kamchatka in 2022–2023. The fieldwork provided new information on lithic industries, chronology and habitation stages at these sites during the Holocene. Another objective was assessing preservation of cultural deposits and prospects for further research. Aerial photography provided data on the scale of modern anthropogenic impact and made it possible to visualize the area of the site and distribution of surface finds. Archaeological works gave new information on stratigraphy and chronology, and expanded our knowledge about the earliest stages of habitation at the Avacha site. The age of cultural layer III, previously dated to  $5200 \pm 100$  BP, was revised to a later period based on the second AMS radiocarbon dating of charcoal samples taken in 1975–1977. New date of  $3322 \pm 43$  BP reconciles the age of the complex with chronology of other sites of the Tarya culture in Kamchatka. Examination of archaeological assemblages from excavations and surface finds at the Vilyucha and Uksychan sites has revealed that they belonged to the Late Neolithic–Paleometal Age. Chronology and cultural attribution of the Esso Megafon site have been clarified, and its cultural layer was dated to  $7574 \pm 91$  BP. The lithic assemblage was attributed to the circle of complexes of the Ushki Mesolithic culture of Central Kamchatka based on dating and technical and typological analysis.

Keywords: Kamchatka, Mesolithic, Neolithic, Paleometal, Tarya culture, stone industry.

В полевые сезоны 2022 и 2023 гг. участниками Камчатского палеолитического отряда ИАЭТ СО РАН были проведены рекогносцировочные работы на серии памятников каменного века п-ова Камчатка. Объектами исследований стали четыре археологического памятника: опорная многослойная стоянка Авача, известная с 1970-х гг., а также открытые А.В. Пташинским в 2010-х поселение Вилюча I (Елизовский р-н), стоянки Уксичан и Эссо-Мегафон (Быстрицкий р-н) (рис. 1, А). Полевые и камеральные работы были направлены на оценку состояния сохранности культурных отложений и перспектив проведения дальнейших изысканий, также целью было получение новых сведений об облике каменных индустрий, их хронологии, этапах заселения стоянок в эпоху голоцен. В процессе разведывательных работ производилось обследование и аэрофотосъемка территорий памятников с использованием квадрокоптера DJI Mavic 2 Pro, были реализованы визуальный осмотр склоновых обнажений и раздернованных участков для поиска подъемного материала, проведены зачистки отложений. Анализ и интерпретация археологических коллекций базировались на технологическом и сравнительно-типологическом методах.

*Многослойное поселение Авача.* Памятник расположен на юго-западной окраине Петропавловска-Камчатского на холме Прицельный (высотой 42 м над ур.м.) у берега Авачинской бухты, слева от устья р. Авача (рис. 1, Б). Обнаружен Н.Н. Диковым в 1971 г., исследовался экспедицией СВКНИИ под руководством Т.М. Диковой в 1975–1977 гг. В результате раскопочных работ 1970-х гг. был изучен участок площадью  $84 \text{ m}^2$ , выявлено три культурных слоя (далее – к.с.) с остатками жилищ и очагов, многочисленными находками каменных и костяных артефактов. Все материалы были отнесены к единой тарынской культуре неолита, существовавшей с V тыс. до н.э. до середины XVII в. н.э. [Дикова, 1983, с. 118–165, 167]. В 2014 г. А.В. Пташинским был произведен мониторинг состояния археологического объекта [2015]. Новые исследования коллекций 1970-х гг. позволили

предположить присутствие на Авачинской стоянке более древнего, вероятно, ранненеолитического культурного компонента [Федорченко и др., 2020].

В 2022 гг. в результате визуального осмотра и применения аэрофотосъемки было установлено, что границы раскопов Т.М. Диковой в настоящий момент прослеживаются слабо. Территория памятника у подножия холма Прицельный активно разрушается в результате современной жилищной застройки и грабительских раскопок. В процессе изысканий на стоянке была проведена зачистка рыхлых отложений (рис. 1, В) на участке восточного склона холма, удаленного от раскопа 1971–1974 гг. на расстояние не менее 30 м к востоку. Поверхность на месте зачистки повторяет склон берега, имеет уклон  $30\text{--}40^\circ$ , задернована. Протяженность зачистки – 3 м по линии юг – север и 0,7 м по линии запад – восток. В качестве нулевого репера был принят уровень дневной поверхности в юго-западном углу зачистки. Мощность полученного разреза составила 1,1 м. На участке были вскрыты следующие стратиграфические подразделения (сверху – вниз).

Слой 1. Современный дерново-почвенный слой, насыщенный корнями травянистой растительности. Мощность – 0,10–0,13 м.

Слой 2. Дерн погребенный, светло-коричневый. Мощность – 0,10–0,23 м.

Слой 3. Супесь гумусированная, темно-коричневая. Мощность – 0,04–0,11 м.

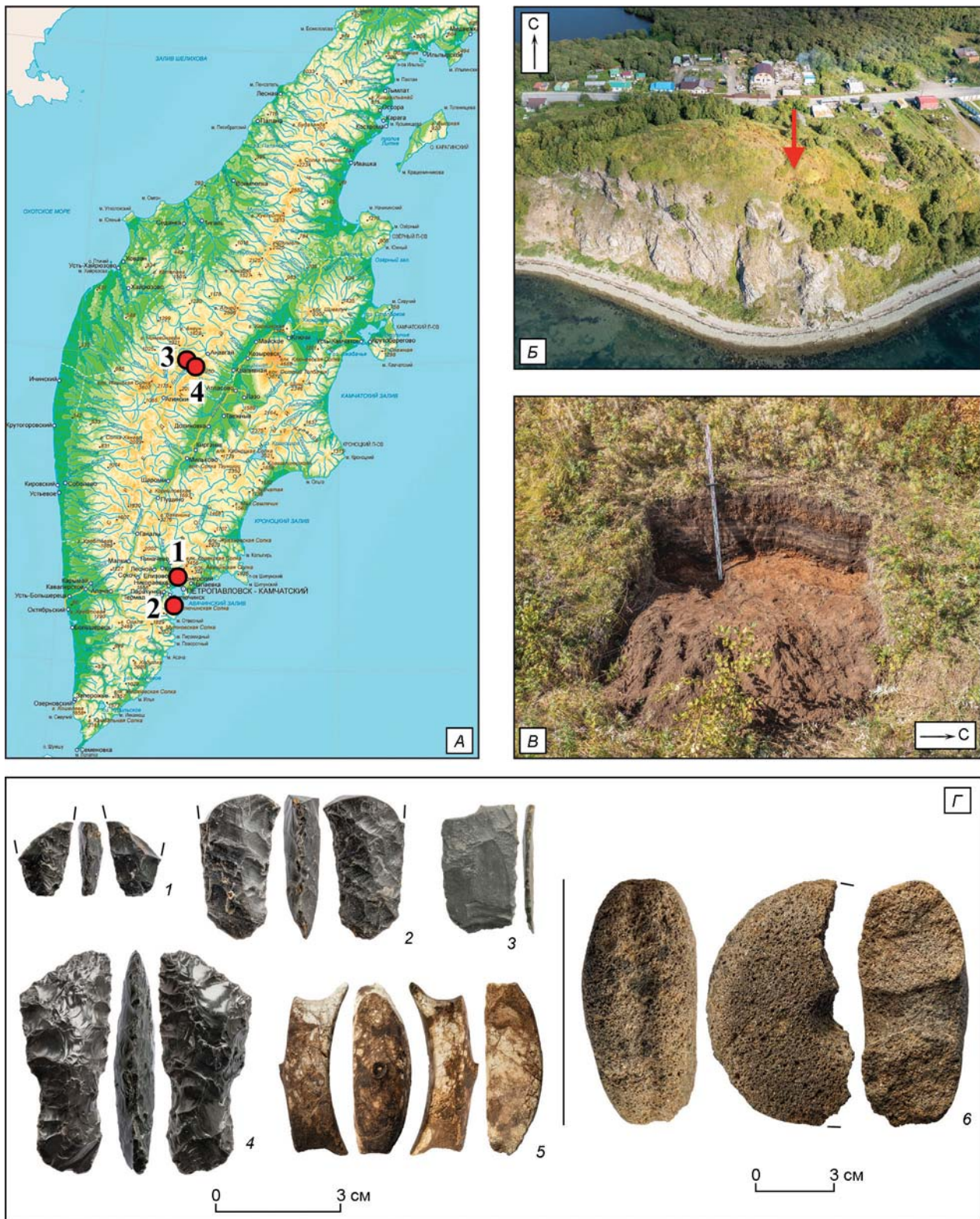
Слой 4. Супесь пылеватая, темно-серая, в средней части с включением прослойя вулканического пепла белого цвета. Мощность – 0,07–0,10 м.

Слой 5. Супесь пылеватая, светлая коричневато-серая, в нижней части включением протяженных линз слабой утолщенности. Мощность – 0,07–0,14 м.

Слой 6. Супесь светло-желтая. Мощность – 0,03–0,06 м.

Слой 7. Супесь коричневая, в нижней части с включением единичных линз вулканического пепла светло-серого цвета. Мощность – 0,06–0,12 м.

Слой 8. Супесь желтая, прерывистая. Мощность – 0,03–0,06 м.



*Рис. 1. Археологические исследования памятников полуострова Камчатка в 2022–2023 гг.*

*А* – расположение памятников: 1 – поселение Авача, 2 – поселение Вилюча I, 3 – местонахождение Уксичан, 4 – стоянка Эссо-Мегафон; *Б* – вид с юга на поселение Авача, красной стрелкой обозначено место работ; *В* – вид с востока на участок работ, поселение Авача; *Г* – материалы из зачистки (1–4, 6) и подъемных сборов (5) на поселении Авача: 1–2 – фрагменты бифасиальных наконечников, 3 – скол с ретушью, 4 – нож со скошенным лезвием, 5 – лабретка, 6 – грузило.

Слой 9. Супесь гумусированная, темно-коричневая, с вклюением угольков. Мощность – 0,11–0,21 м.

Слой 10. Суглинок красноватый, с вклюением обломком коренной породы. Мощность – свыше 0,2 м.

На изученном участке был зафиксирован один уровень залегания археологических находок, приуроченный к нижней части литологического слоя 9. При разборе горизонта и в процессе переборки отвала была получена коллекция из 110 артефактов (табл. 1), выполненных из черного обсидиана, молочно-белого халцедона, кремнистых и вулканогенных пород (рис. 1, Г). Отходы производства представлены преимущественно крупными ( $>30$  мм в наибольшем измерении,  $n = 10$ ), средними ( $29,9$ – $10$  мм,  $n = 73$ ) и мелкими ( $<10$  мм,  $n = 13$ ) отщепами, а также обломками ( $n = 3$ ). Коллекция орудий включает пять предметов. В нее вошли два бифасиальных наконечника – базальный ( $18 \times 11,9 \times 5,8$  мм) и базально-медиальный фрагменты ( $34,1 \times 18,7 \times 8,5$  мм) с закругленным основанием и линзовидным сечением (рис. 1, Г, 1, 2); двусторонне обработанный черешковый нож со скошенным лезвием, овальным сечением и прямым профилем ( $52,7 \times 21,9 \times 9,5$  мм) (рис. 1, Г, 4); отщеп подпрямоугольной формы, обработанный по двум продольным краям дорсальной мелкой краевой параллельной ретушью ( $30,1 \times 18,4 \times 2,1$  мм) (рис. 1, Г, 3); поперечно фрагментированное грузило округлой формы из обломка вулканической лавы с биконическим отверстием в центре и круговым желобком на гранях ( $87,5 \times 46,4 \times 39,5$  мм) (рис. 1, Г, 6). Коллекцию артефактов дополняет каменная лабретка, обнаруженная в подъемном залегании в осыпи обнажения склона холма, 8 м к юго-западу от зачистки (рис. 1, Г, 5). Украшение имеет запонковидную форму ( $40,7 \times 13,6 \times 12,1$  мм), массивную головку и декоративный выступ на конце, вогнутое основание и круговой желобок для губы. Поверхности изделия тщательно обработаны шлифовкой.

Таблица 1. Состав археологической коллекции поселения Авача (материалы зачистки 2022 гг.)

Категории / группы	Итого
<i>Каменная индустрия</i>	
Отщепы	102
крупные ( $\geq 30$ мм)	10
средние ( $29,9$ – $10$ мм)	79
мелкие ( $<10$ мм)	13
Обломки	3
<i>Всего</i>	105
<i>Орудийный набор</i>	
Наконечники бифасиальные неопределенного типа	2
Ножи бифасиальные черешковые со скошенным лезвием	1
Грузила	1
Сколы с ретушью / отщепы с ретушью	1
<i>Всего</i>	5

Полученный археологический материал находит прямые аналогии в индустриях второго и третьего к.с. памятника, полученных во время раскопок 1970-х гг. [Дикова, 1983, табл. 57, 68, 72]. В результате полевых работ 2022 г. на памятнике Авача были уточнены сведения о характере сохранности объекта и границах распространения культурных отложений; установлены факты текущего несанкционированного вмешательства в культурный слой со стороны искателей древностей. На основании повторного радиоуглеродного датирования образцов древесного угля, хранившихся в фондах лаборатории истории и экономики СВКНИИ ДВО РАН с 1975–1977 гг., были дополнены данные о возрасте археологических комплексов стоянки. В результате радиоуглеродного AMS-датирования были получены следующие даты: к.с. I –  $972 \pm 41$  некал. л.н. (GV-04120), к.с. II –  $1829 \pm 42$  некал. л.н. (GV-04121), к.с. III –  $3\,322 \pm 43$  некал. л.н. (GV-04123). Таким образом, произошла коррекция в сторону омоложения сведений о возрасте к.с. III, связываемого прежде с определением –  $5\,200 \pm 100$  некал. л.н. [Дикова, 1983], полученным на основе традиционного жидкостно-сцинтиляционного метода. Новые данные –  $3\,322 \pm 43$  некал. л.н. – привели в соответствие возраст комплекса и хронологию существования других памятников тарынской культуры Камчатки [Лебединцев, 2023].

*Поселение Вилюча I.* Памятник расположен на м. Зелёный (высота над ур.м. ок. 40 м) к северу от входа в бухту Вилючинскую в 50 км к юго-юго-западу от Петропавловска-Камчатского (рис. 2, А). Обнаружен А.В. Пташинским в 2011 г. В результате проведенных рекогносцировочных работ были получены данные о стратиграфии и каменных индустриях памятника, выявлена серия западин древних жилищ и котлованов современных построек, связанных с функционированием в середине XX в. рыбозавода в устье р. Вилюча и мероприятиями военно-морского флота [Пташинский, 2012б]. В 2022 г. методами аэрофоторазведки были получены новые данные относительно масштаба современных антропогенных разрушений, особенностей локализации жилищных западин на площади фиксируемого здесь поселения (рис. 2, Б). Для уточнения стратиграфии стоянки была осуществлена зачистка борта одного из нарушенных котлованов жилищ. Протяженность зачистки – 2 м по линии северо-восток – юг-запад и 0,8 м по линии северо-запад – юго-восток. В качестве условного нулевого репера был принят уровень дневной поверхности в северо-восточном углу зачистки. Мощность полученного разреза составила 1 м. На участке была отмечена следующая стратиграфическая последовательность (сверху вниз).

Слой 1. Современный дерново-почвенный слой, насыщенный корнями травянистой растительности и песком, в нижней части – с вклюением тонких линз вулканического пепла светло-серого цвета. Мощность – 0,13–0,16 м.

Рис. 2. Поселение Вилюча I.

*A* – вид на памятник с северо-запада; красной стрелкой обозначено место зачистки; *B* – вид на поселение и остатки западин антропогенного происхождения; *C* – материал из зачистки (2–3, 5) и подъемных сборов (1, 4, 6–7): 1, 3, 4, 7 – сколы с ретушью, 2 – перфоратор, 5 – скребло с обработкой на 3/4 периметра, 6 – концевой скребок.

Слой 2. Супесь мешаная, коричневая. Мощность – 0,24–0,45 м.

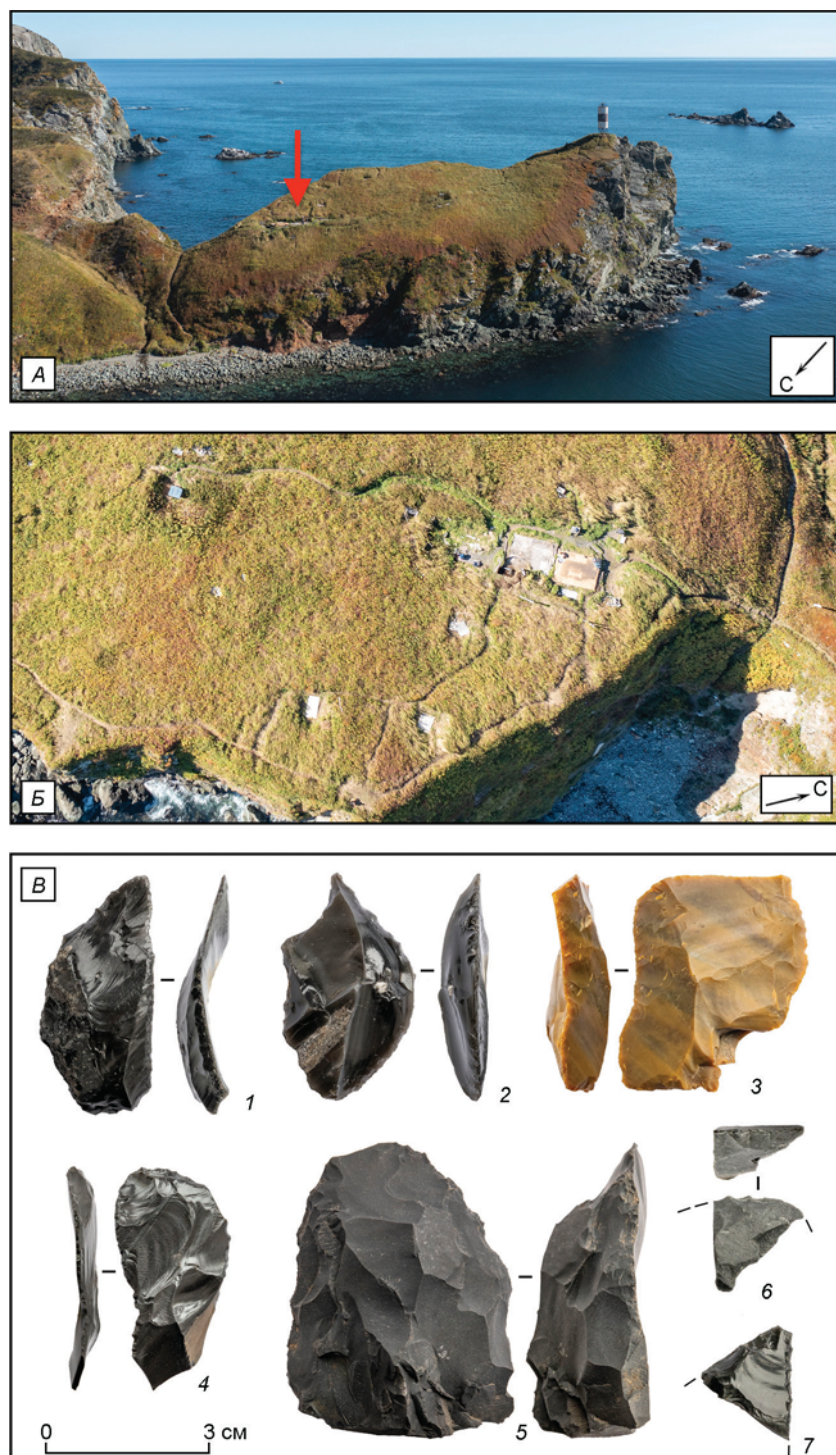
Слой 3. Супесь мешаная, светло-коричневая с включением трех прослоев углистости, насыщенная деревянной щепой и современным мусором. Выклинивается в юго-западной части зачистки. Мощность – 0,28–0,32 м.

Слой 4. Супесь темно-коричневая, в верхней части с включением линз золы, кальцинированных костей и пятен прокала. Залегает в неподтревоженном виде в юго-западной части зачистки. Мощность – 0,20–0,25 м.

Слой 5. Супесь плотная, рыжевато-бурая, с включением щебня. Мощность – свыше 0,10 м.

В полученном разрезе выявлены признаки масштабных стратиграфических нарушений, связанных с частичной расчисткой древнего жилищного котлована при современном строительстве. Установлено, что наиболее полная стратиграфическая последовательность в относительно неподтревоженном виде сохранилась в юго-западной части зачистки. Зафиксирован один уровень залегания археологических находок, приуроченный к литологическому слою 4. Коллекция данного подразделения насчитывает 62 артефакта, из контекста перемешанных отложений литологических слоев 2 и 3 происходит еще 21 предмет, из подъемных сборов – 128 предметов (табл. 2). Все материалы отличает близкая сырьевая база – использование черного обсидиана, кремнистых пород серого, желтого и коричневого цветов, белого халцедона, светло-серого туфа и темно-серого андезито-базальта (рис. 2, *B*).

В коллекции литологического слоя 4 ( $n = 62$ ) преобладают отщепы: крупные ( $n = 9$ ), средние ( $n = 46$ )



и мелкие ( $n = 4$ ); единичными образцами представлены обломки ( $n = 1$ ) и фрагменты галек с признаками термического растрескивания ( $n = 2$ ). Среди переотложенных материалов из литологических слоев 2 и 3 ( $n = 21$ ) также наибольший удельный вес имеют отходы производства: крупные ( $n = 1$ ), средние ( $n = 14$ ) и мелкие ( $n = 1$ ) отщепы, обломки ( $n = 2$ ). Орудийная коллекция включает скребло из массивного отщепа, обработанного крупной дорсальной многорядной покрывающей ретушью на 3/4 периметра ( $53,6 \times 41,6 \times$

**Таблица 2. Состав археологической коллекции поселения Вилюча I (материалы 2022 гг.)**

Категории / группы	Слои 2 и 3	Слой 4	П/М	Итого
<i>Каменная индустрия</i>				
Отщепы	16	59	115	190
крупные ( $\geq 30$ мм)	1	9	8	18
средние (29,9–10 мм)	14	46	76	136
мелкие (<10 мм)	1	4	31	36
Обломки	2	1	8	11
<i>Всего</i>	18	60	123	201
<i>Орудийный набор</i>				
Скребки концевые	–	–	1	1
Скребла с обработкой на 3/4 периметра	1	–	–	1
Перфораторы	1	–	–	1
Сколы с ретушью / отщепы с ретушью	1	–	3	4
<i>Всего</i>	3	–	4	7
Гальки со следами высокотемпературного растрескивания	–	2	1	3

$\times 19,6$  мм) (рис. 2, *B*, 5); перфоратор с мелкой нерегулярной дорсальной ретушью по продольным краям и рабочим концом, оформленным ретушью и попечечным/диагональным сломом ( $41,6 \times 24,7 \times 8,1$  мм) (рис. 2, *B*, 2); массивный отщеп с параллельной крутой и полукрутой краевой дорсальной ретушью по двум продольным краям ( $39,8 \times 32,6 \times 11,9$  мм) (рис. 2, *B*, 3).

Исследование стоянки сопровождалось сбором подъемного археологического материала на участках с удаленным почвенно-растительным покровом из-за природных или антропогенных факторов. В полученной коллекции ( $n = 128$ ) фиксируется дебитаж различного типа: отщепы крупные ( $n = 8$ ), средние ( $n = 76$ ) и мелкие ( $n = 31$ ), обломки ( $n = 8$ ). Среди орудий ( $n = 4$ ) выделяется фрагмент лезвия концевого скребка, оформленного краевой регулярной крутой параллельной ретушью ( $13,9 \times 16,8 \times 10,7$  мм) (рис. 2, *B*, 6). Тремя образцами представлены первичные и полу-

первичные отщепы с мелкой полукрутой или крутой, реже вертикальной регулярной параллельной ретушью по одному, двум параллельным продольным или конвергентным краям; изделия сохранились в виде дистального фрагмента ( $17,3 \times 20,1 \times 5,3$  мм) (рис. 2, *B*, 7) и целых предметов ( $44,3 \times 20,5 \times 5,8$  мм и  $40,5 \times 21,2 \times 4,1$  мм) (рис. 2, *B*, 1, 4). Дополняет коллекцию фрагмент гальки с признаками высокотемпературного растрескивания. В целом, новые археологические материалы находят соответствие в коллекциях, полученных на предыдущем этапе работ. Серия образцов на AMS-датирование, отобранная в полевом сезоне 2022 г., позволит уточнить возраст поселения Вилюча I.

**Местонахождение Уксичан.** Памятник расположен на второй надпойменной террасе правого берега р. Уксичан на западной окраине с. Эссо. В 2016 г. А.В. Пташинским был осмотрен участок бульдозерной колеи общей протяженностью около 1 км, проходящей через террасу по направлению запад – восток; в результате осмотра было отмечено несколько пунктов залегания экспонированных находок [Пташинский, 2017]. В 2022–2023 гг. в рамках мониторинга стоянки Уксичан, посредством использования аэрофотосъемки было визуализировано состояние территории, занимаемой памятником, получены новые данные относительно рельефа и масштаба современных антропогенных разрушений (рис. 3, *A*). В процессе осмотра поверхности террасы было выявлено несколько пунктов сбора подъемного археологического материала; общее число находок составило 164 каменных артефактов (табл. 3). Для производства орудий на памятнике Уксичан использовался обсидиан от полупрозрачного дымчатого до черного цветов (рис. 3, *B*); часть обнаруженных предметов несет признаки современных техногенных повреждений.

Наиболее массово в коллекции представлен дебитаж, связанный с начальными стадиями произ-

**Таблица 3. Состав археологической коллекции местонахождения Уксичан (материалы 2022–2023 гг.)**

Категории / группы	Итого
<i>Каменная индустрия</i>	
Отщепы	148
крупные ( $\geq 30$ мм)	11
средние (29,9–10 мм)	89
мелкие (<10 мм)	48
Обломки и осколки	9
<i>Всего</i>	157
<i>Орудийный набор</i>	
Бифасиальные орудия	3
Ножи унифасиальные	1
Сколы с ретушью / отщепы с ретушью утилизации	3
<i>Всего</i>	7

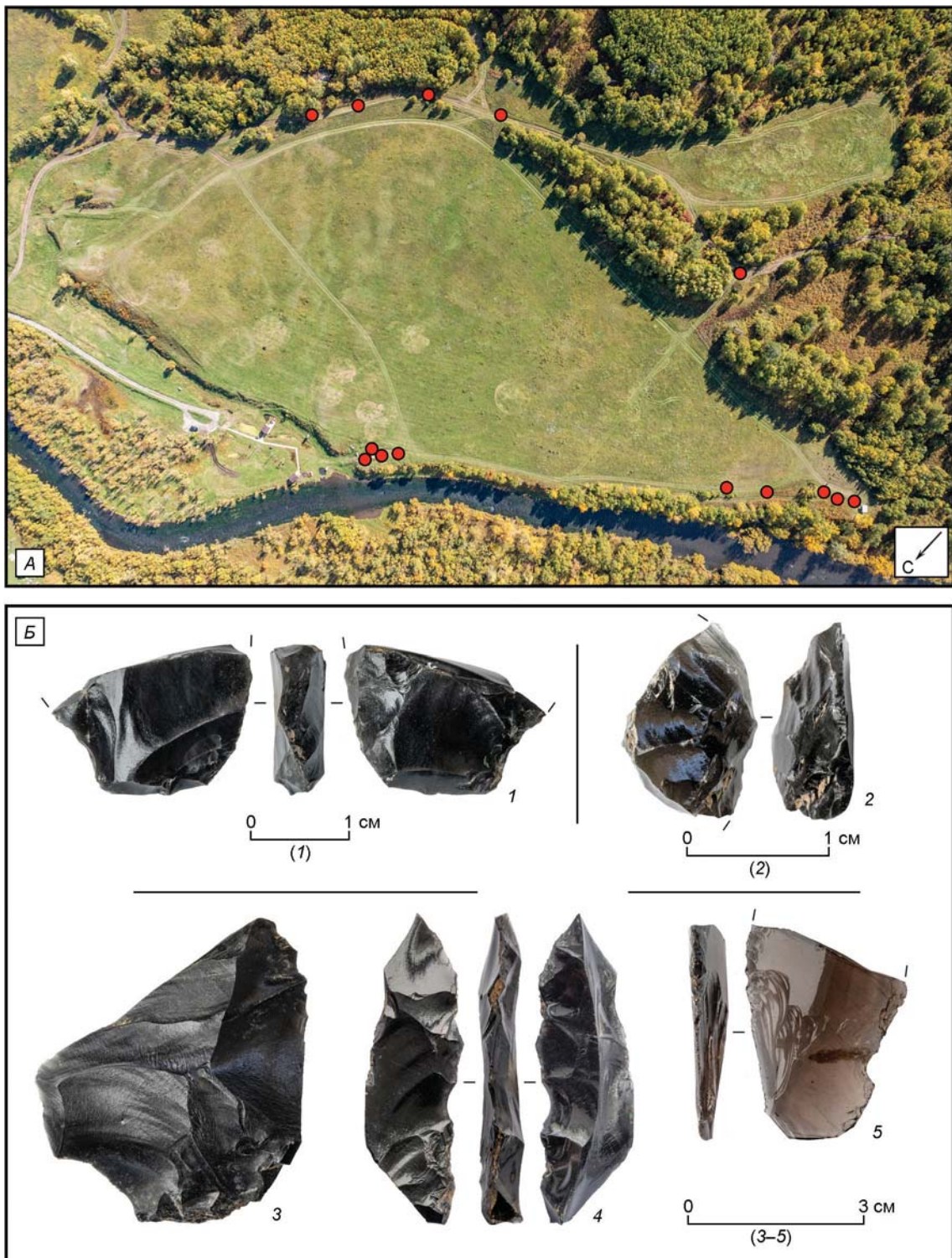


Рис. 3. Местонахождение Уксичан

*A* – вид на памятник; красными точками обозначены участки сбора подъемного материала; *Б* – находки экспонированных артефактов: 1, 4, 5 – фрагменты бифасиальных изделий; 2 – нож с унифасиальной обработкой; 3 – отщеп.

водства и последующего оформления бифасиально обработанных орудий ( $n = 148$ ): крупные ( $n = 11$ ), средние ( $n = 89$ ) и мелкие ( $n = 48$ ), преимущественно вторичные (рис. 3, *Б*, 3), в единичных случаях – полупервичные сколы, а также обломки и осколки

( $n = 9$ ). Орудийный набор включает семь фрагментированных изделий. Наиболее информативную группу составляют двусторонне обработанные ножи или наконечники ( $n = 3$ ) в виде базальных ( $n = 2$ ) и медиальных фрагментов (рис. 3, *Б*, 1, 4, 5). Орудия об-

ладают прямым профилем, уплощенно-линзовидным поперечным сечением, широкие стороны двух предметов покрыты негативами уплощающих снятый, продольные края последнего предмета обработаны краевой и распространенной бифасиальной ретушью. Длина изделий варьирует от 13,6 до 35,9 мм, ширина – 9,2–28,1 мм, толщина – 5,0–5,7 мм. В полученных сборах также выделяется медиальный фрагмент унифасиально обработанного ножа, выполненного на массивном сколе и оформленного негативами субпараллельных сколов (13,6 × 9,2 × 5,0 мм) (рис. 3, Б, 2). В орудийный набор вошли также три вторичных отщепа с мелкой краевой дорсальной или центральной нерегулярной ретушью утилизации; артефакты достигают 12,3–22,9 мм в длину, 12,4–15,4 мм в ширину и 3,0–4,3 мм в толщину. Облик полученной коллекции позволяет предварительно датировать ее эпохой позднего неолита – палеометалла. Единообразие расщепленного сырья, качественного состава и технико-типологических характеристик полученных находок свидетельствуют о принадлежности к одному культурному контексту.

**Стоянка Эссо-Мегафон.** Памятник расположен на первой надпойменной террасе (высота 4 м) справа от устья р. Уксичан, впадающей в р. Быстрая (Козыревская), на юго-восточном краю с. Эссо [Пташинский, 2020]. Стоянка была частично разрушена при прокладке через ее территорию автомобильной дороги и линии электропередачи; выявлена как археологический объект А.В. Пташинским. В 2016 г. в результате зачистки была уточнена стратиграфия и получены первые данные относительно каменной индустрии памятника [Пташинский, 2017]. Полевые работы 2022 г. позволили провести мониторинг стоянки Эссо-Мегафон. В результате осмотра незадернованных бортов автодороги был получен немногочисленный подъемный материал – проксимально-медиальный фрагмент микропластины из темно-коричневого кремня и отщеп из полупрозрачного обсидиана, несущие на поверхности следы-остатки светло-желтого пепла. Новые находки соответствуют изученной ранее индустрии стоянки Эссо-Мегафон, в основе которой лежат макро- и мелкопластинчатое призматическое расщепление [Пташинский, 2020]. На настоящем этапе изысканий были получены первые данные о хронологии памятника. Радиоуглеродный анализ древесного угля, отобранного в 2016 г. с глубины 0,35–0,40 м, продемонстрировал значение  $7\ 574 \pm 91$  л.н. (GV-03247). На основании результатов датирования и технико-типологического анализа каменная индустрия памятника была отнесена к кругу комплексов ушковской мезолитической культуры Центральной Камчатки, выявленных на стратифицированных памятниках Ушки I, II и V, Домашнее Озеро (см. статью А.Ю. Федорченко и др. «Новые данные о культурно-хронологической последовательности памятника Домашнее Озе-

ро в Центральной Камчатке» в данном сборнике), Раздельный I-II, Анавгай II [Диков, 1977; Пташинский, 2012а; Федорченко и др., 2023].

В целом результаты исследований дополнили данные об облике и хронологии культур эпохи неолита Южной и Центральной Камчатки. Продолжение археологического изучения памятников региона позволит сформировать целостное представление о культурных процессах, связанных с освоением полуострова на протяжении его древнейшей истории.

## Благодарности

Полевые археологические исследования выполнены при поддержке гранта РНФ № 22-18-00319 «Генезис древних культур крайнего Северо-Востока Азии», <https://rscc.ru/projekt/22-18-00319/> (руководитель – А.И. Лебединцев, исполнители – П.С. Гребенюк, А.В. Пташинский), анализ археологических коллекций – в рамках проекта НИР ИАЭТ СО РАН № FWZG-2022-0003 «Северная Азия в каменном веке: культурная динамика и экологический контекст» (исполнители – А.Ю. Федорченко и Н.Е. Белоусова).

## Список литературы

**Диков Н.Н.** Археологические памятники Камчатки, Чукотки, Верхней Колымы. – М.: Наука, 1977. – 319 с.

**Дикова Т.М.** Археология южной Камчатки в связи с проблемой расселения айнов. – М.: Наука, 1983. – 232 с.

**Лебединцев А.И.** Проблема происхождения, локализации и хронологии тарьинской поздненеолитической культуры Камчатки // Вестн. Новосиб. гос. ун-та. Сер.: История, филология. – 2023. – Т. 22, №5: Археология и этнография. – С. 52–63.

**Пташинский А.В.** Новые памятники финального палеолита на Камчатке // Stratum plus. Археология и культурная антропология. – 2012а. – № 1. – С. 257–276.

**Пташинский А.В.** Отчет об археологических исследованиях в Елизовском, Быстриńskом, Соболевском и Усть-Большерецком районах Камчатского края в 2011 году. – Петропавловск-Камчатский, 2012б. – 68 с.

**Пташинский А.В.** Отчет об археологических исследованиях в Быстриńskом, Мильковском и Елизовском районах Камчатского края и Северо-Курильском районе Сахалинской области в 2014 году. – Петропавловск-Камчатский, 2015. – 118 с.

**Пташинский А.В.** Отчет о полевых археологических работах (разведках) в Быстриńskом районе Камчатского края в 2016 году. – Петропавловск-Камчатский, 2017. – 133 с.

**Пташинский А.В.** Новые археологические находки на территории Быстриńskiego района Камчатского края // X Диковские чтения / отв. ред. А.И. Лебединцев. – Магадан: Типография, 2020. – С. 46–50.

**Федорченко А.Ю., Белоусова Н.Е., Гребенюк П.С., Лебединцев А.И.** Новый археологический комплекс раннего неолита на юге Камчатки // Проблемы археологии,

этнографии, антропологии Сибири и сопредельных территорий. – Новосибирск: Изд-во ИАЭТ СО РАН, 2020. – Т. XXVI. – С. 250–257.

**Федорченко А.Ю., Белоусова Н.Е., Селецкий М.В., Воробей И.Е., Некраш А.А., Пташинский А.В.** Результаты полевых археологических исследований стоянки Раздельный II (Центральная Камчатка) в 2022 году // Вестн. Новосиб. гос. ун-та. Сер.: История, филология. – 2023. – Т. 23, № 5: Археология и этнография. – С. 35–51.

## References

**Dikov N.N.** Archaeological sites of Kamchatka, Chukotka, Upper Kolyma. Moscow: Nauka, 1977. 319 p. (In Russ.).

**Dikova T.M.** South Kamchatka Archaeology in Connection with the Ainu Occupation Problem. Moscow: Nauka, 1983. 232 p. (In Russ.).

**Fedorchenko A.Yu., Belousova N.E., Grebenyuk P.S., Lebedintsev A.I.** The New Archaeological Complex of the Early Neolithic in South Kamchatka. In *Problems of Archaeology, Ethnography, Anthropology of Siberia and Neighboring Territories*. Novosibirsk: IAET SB RAS Publ., 2020. Vol. XXVI. P. 250–257. (In Russ.).

**Fedorchenko A.Yu., Belousova N.E., Seletsky M.V., Vorobey I.E., Nekrash A.A., Ptashinsky A.V.** Results of Field Archaeological Research at the Razdelniy II Site (Central Kamchatka) in 2022. *Vestnik NSU. Series: History and Philology*, 2023. Vol. 22, N 5. P. 35–51. (In Russ.).

**Lebedintsev A.I.** The Problem of the Origin, Localization and Chronology of the Tarya Late Neolithic Culture of

Kamchatka. *Vestnik NSU. Series: History and Philology*, 2023. Vol. 22, N 5. P. 52–63. (In Russ.).

**Ptashinsky A.V.** New Final Palaeolithic Sites of Kamchatka. *Stratum plus. Archaeology and Cultural anthropology*, 2012a. N 1. P. 257–276. (In Russ.).

**Ptashinsky A.V.** Otchet ob arkheologicheskikh issledovaniyakh v Yelizovskom, Bystrinskem, Sobolevskom i Ust'-Bol'sheretskom rayonakh Kamchatskogo kraя v 2011 godu. Petropavlovsk-Kamchatsky, 2012b. 68 p. (In Russ.).

**Ptashinsky A.V.** Otchet ob arkheologicheskikh issledovaniyakh v Bystrinskem, Mil'kovskom i Yelizovskom rayonakh Kamchatskogo kraя i Severo-Kuril'skom rayone Sakhalinskoy oblasti v 2014 godu. Petropavlovsk-Kamchatsky, 2015. 118 p. (In Russ.).

**Ptashinsky A.V.** Otchet o polevykh arkheologicheskikh rabotakh (razvedkakh) v Bystrinskem rayone Kamchatskogo kraя v 2016 godu. Petropavlovsk-Kamchatsky, 2017. 133 p. (In Russ.).

**Ptashinsky A.V.** Novyye arkheologicheskiye nakhodki na territorii Bystrinskogo rayona Kamchatskogo kraя. In X Dikovskie chteniya / otv. red. A.I. Lebedintsev. Magadan: Tipografiya Publ., 2020. P. 46–50. (In Russ.).

Федорченко А.Ю. <https://orcid.org/0000-0001-7812-8037>

Белоусова Н.Е. <https://orcid.org/0000-0001-7054-3738>

Селецкий М.В. <https://orcid.org/0000-0003-2581-8792>

Лебединцев А.И. <https://orcid.org/0000-0003-2714-2116>

Воробей И.Е. <https://orcid.org/0000-0002-4040-7150>

Гребенюк П.С. <https://orcid.org/0000-0002-2003-5417>

Пташинский А.В. <https://orcid.org/0000-0002-9206-4823>